

1/13
Marinero, et al.
HSJ9-2003-0260-LN

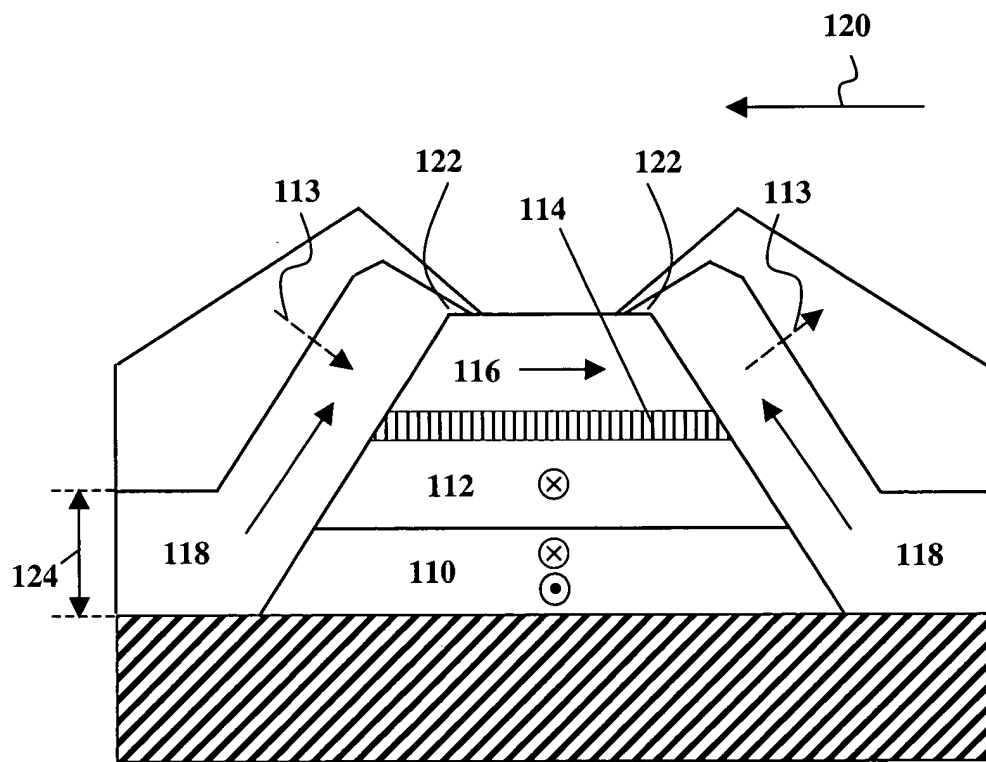


Fig. 1
(Prior Art)

2/13
Marinero, et al.
HSJ9-2003-0260-LN

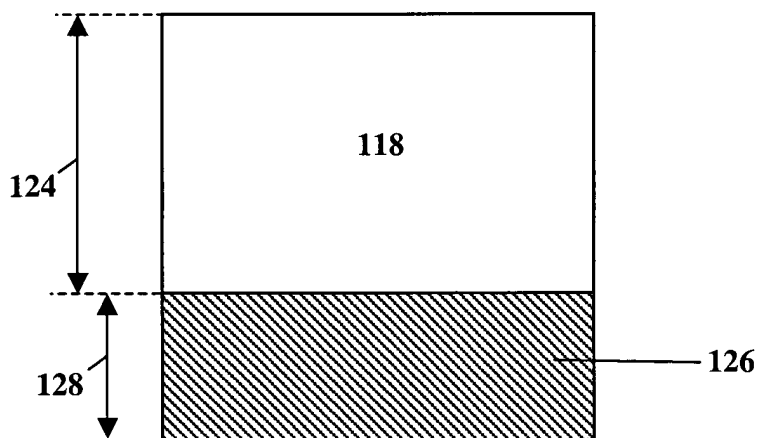


Fig. 2
(Prior Art)

3/13
Marinero, et al.
HSJ9-2003-0260-LN

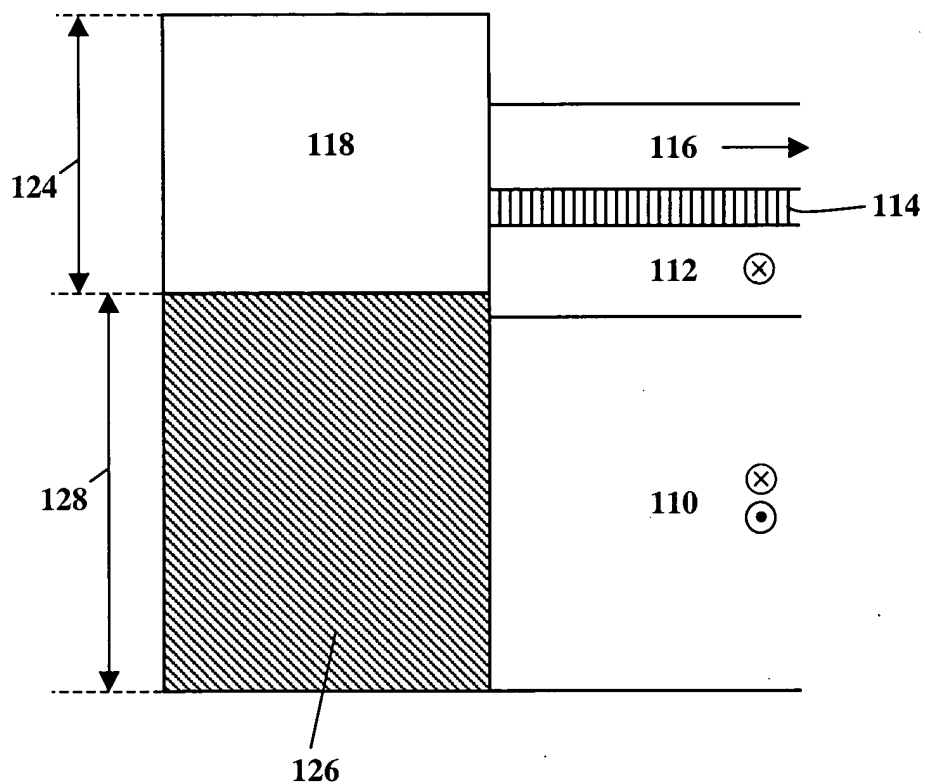


Fig. 3
(Prior Art)

4/13
Marinero, et al.
HSJ9-2003-0260-LN

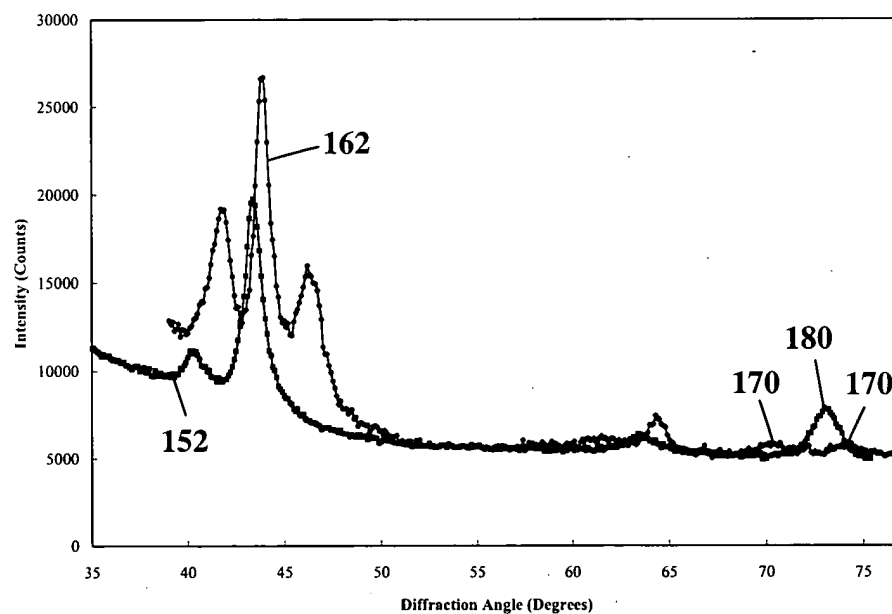


Fig. 4
(Prior Art)

5/13
Marinero, et al.
HSJ9-2003-0260-LN

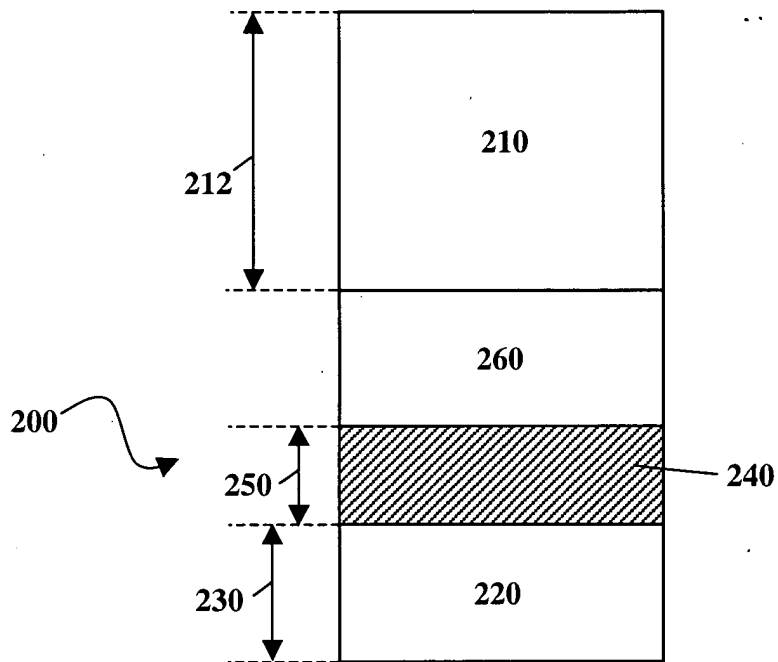


Fig. 5

6/13
Marinero, et al.
HSJ9-2003-0260-LN

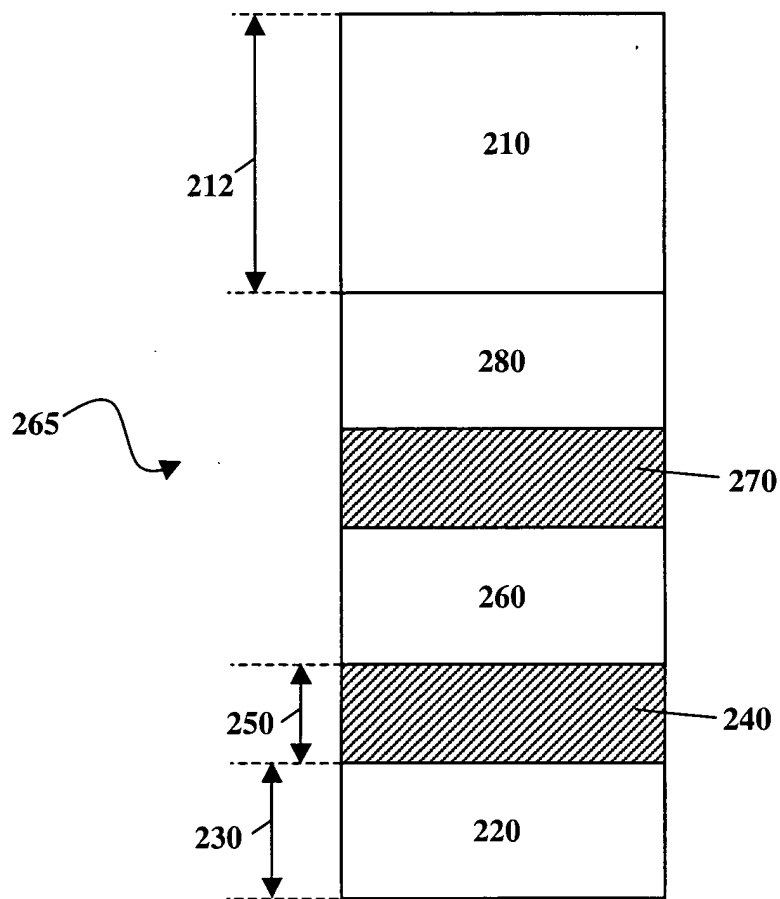


Fig. 6

7/13
Marinero, et al.
HSJ9-2003-0260-LN

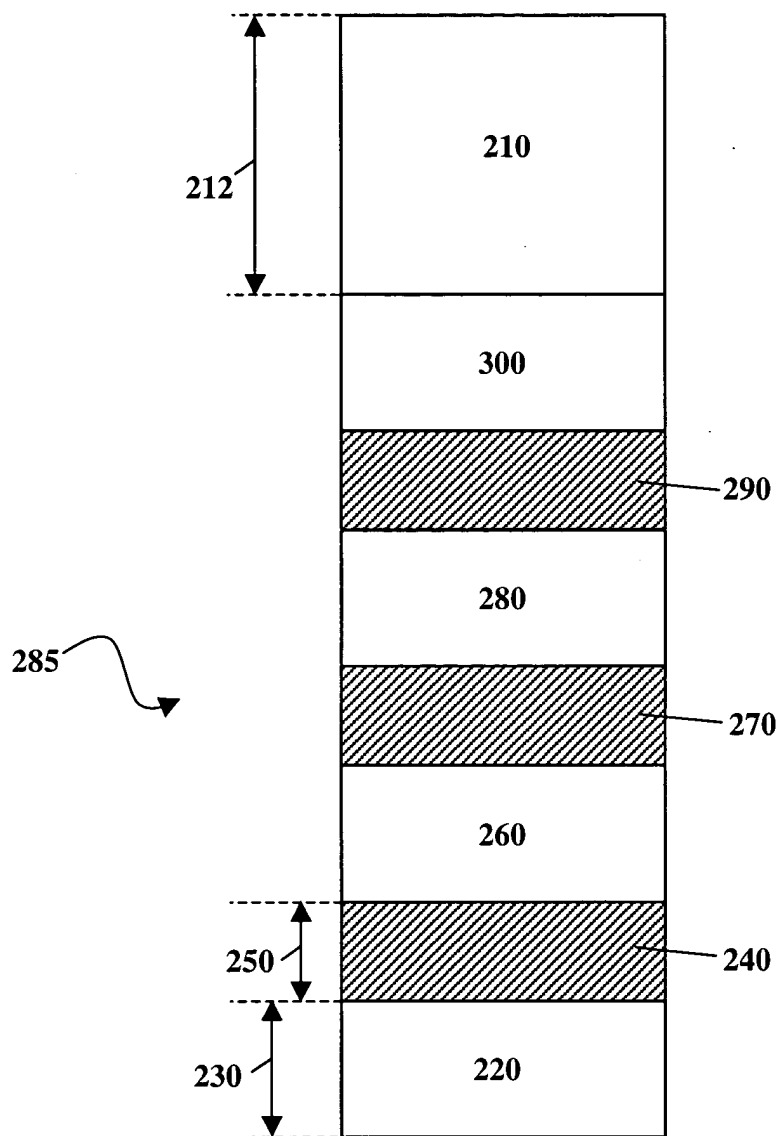


Fig. 7

8/13
Marinero, et al.
HSJ9-2003-0260-LN

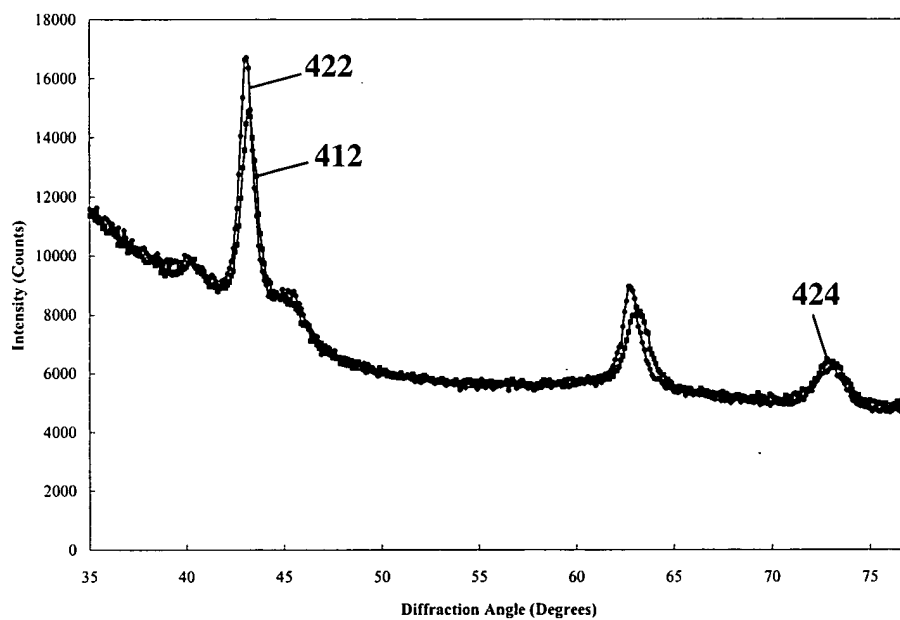


Fig. 8

9/13
Marinero, et al.
HSJ9-2003-0260-LN

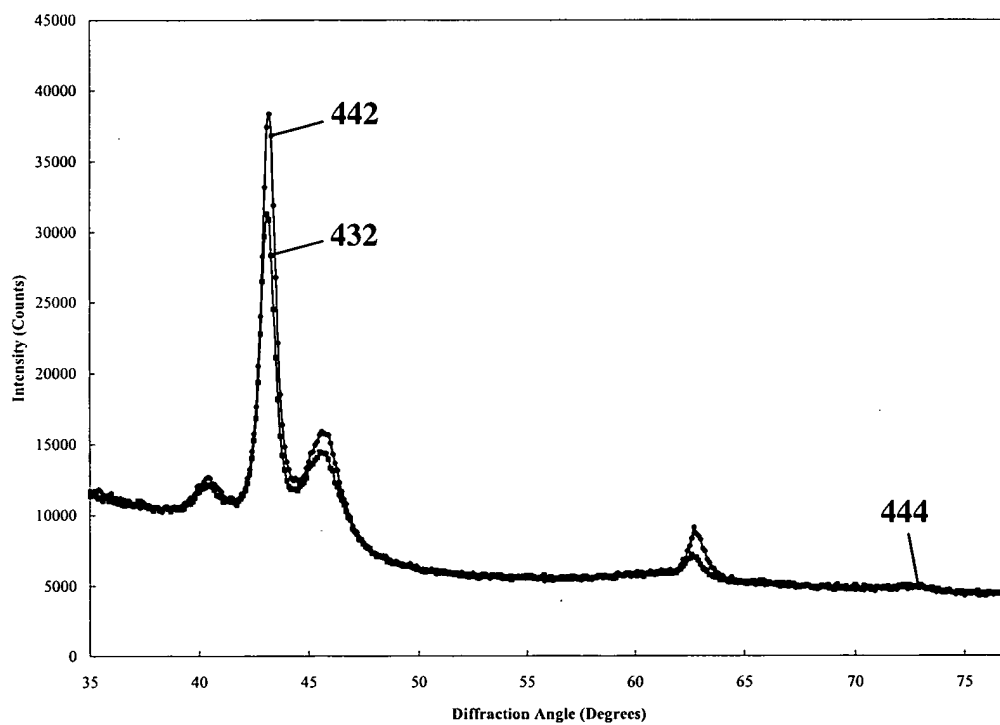


Fig. 9

10/13
Marinero, et al.
HSJ9-2003-0260-LN

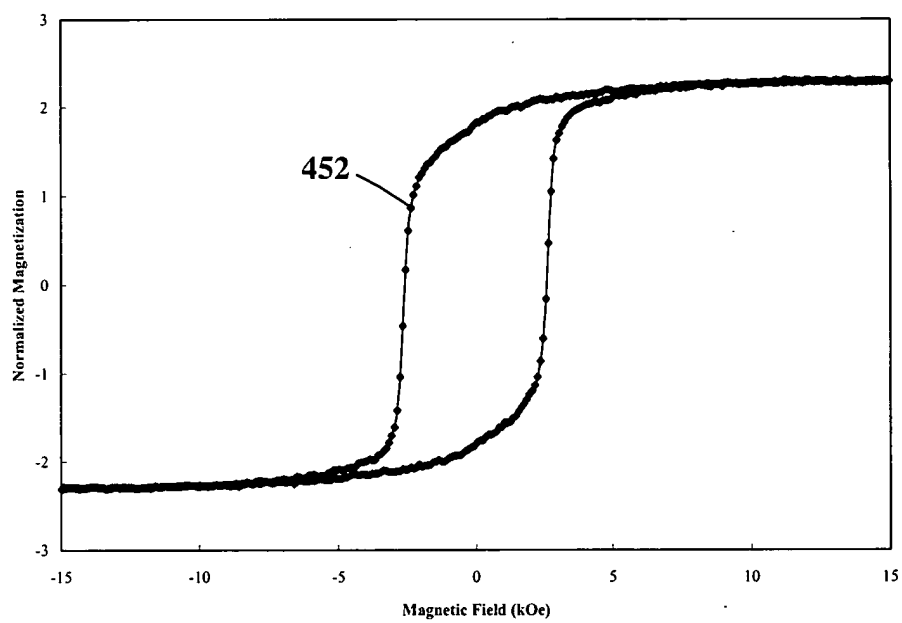


Fig. 10a

11/13
Marinero, et al.
HSJ9-2003-0260-LN

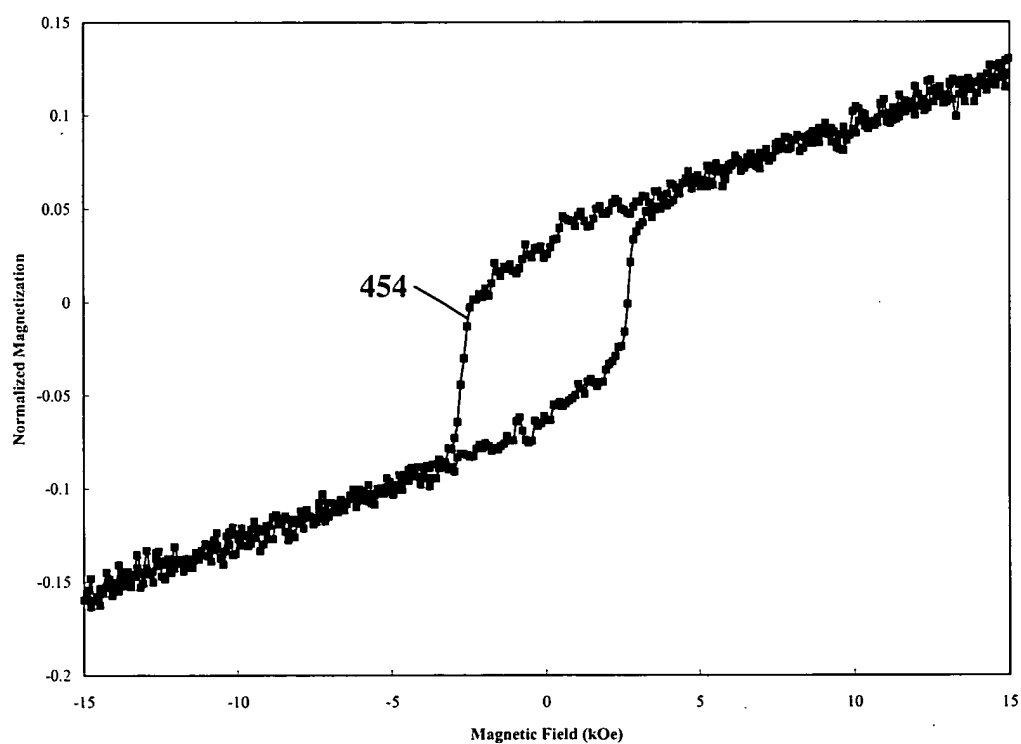


Fig. 10b

12/13
Marinero, et al.
HSJ9-2003-0260-LN

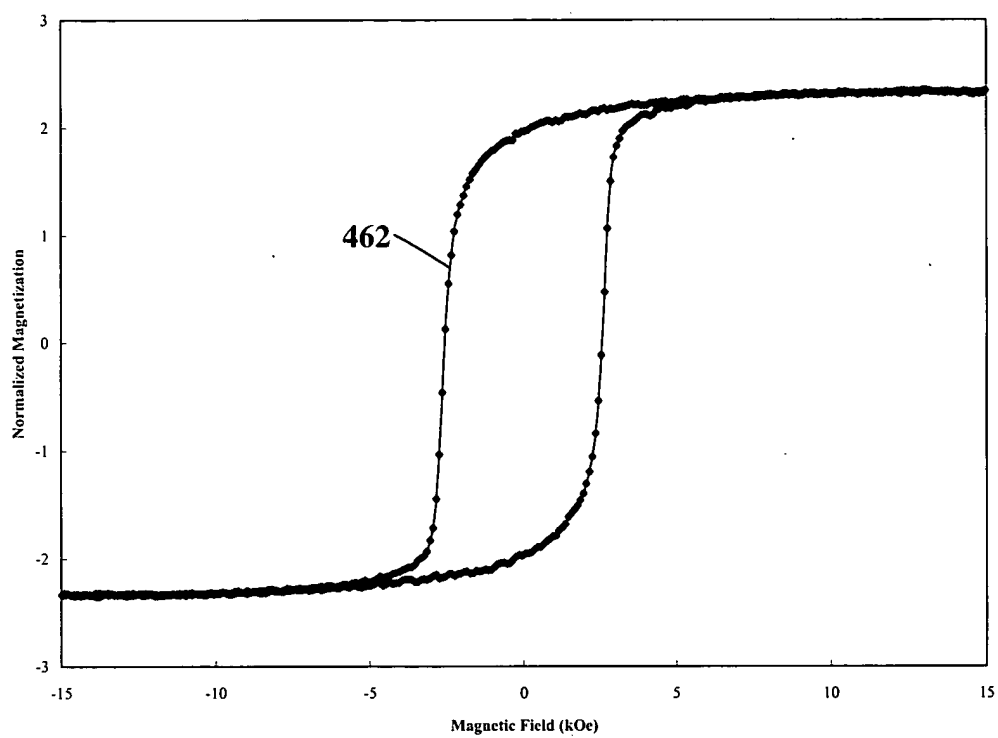


Fig. 10c

13/13
Marinero, et al.
HSJ9-2003-0260-LN

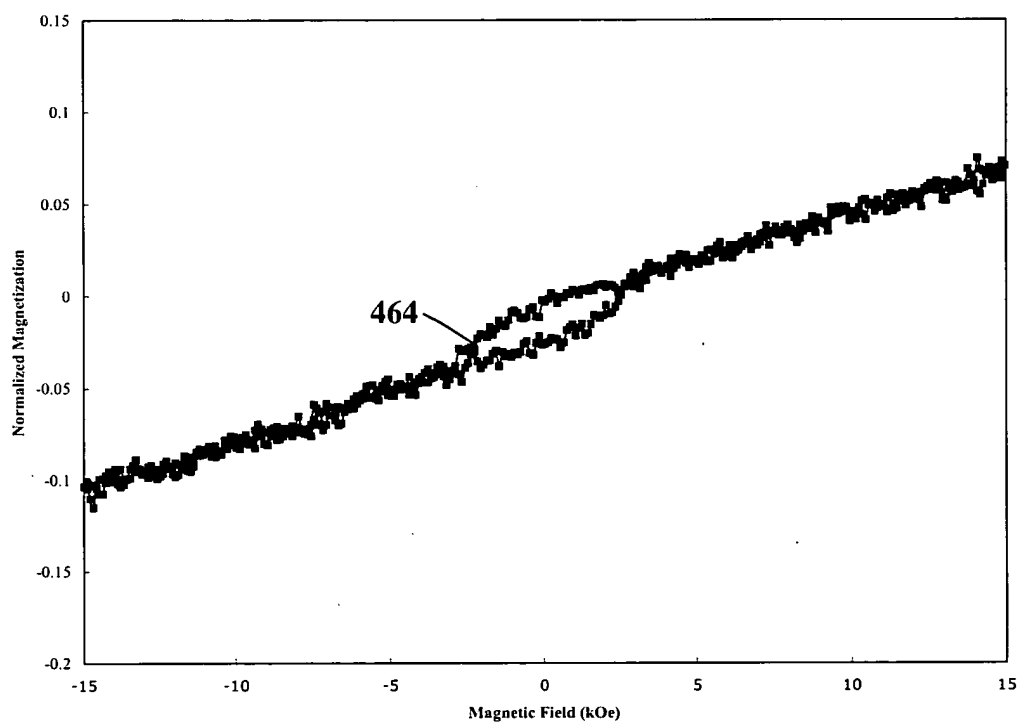


Fig. 10d